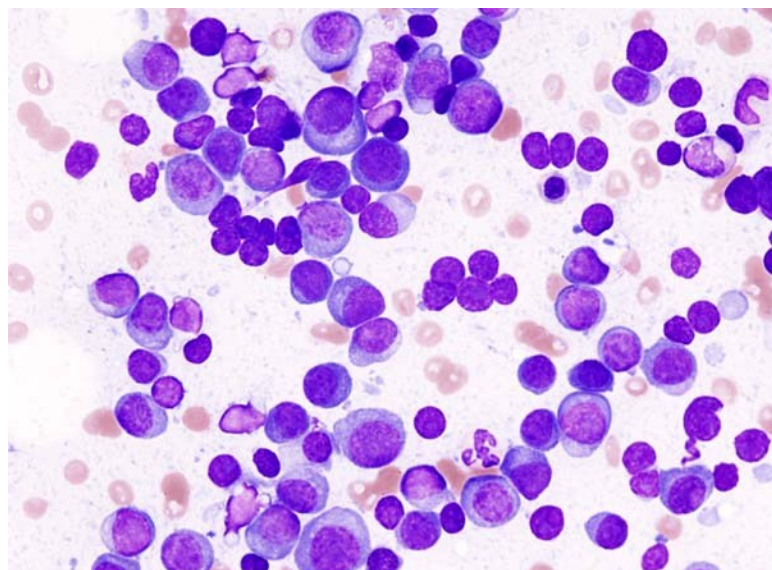


RCEME Bizkaia

Ehun hematopoietiko eta linfoideetako minbiziak. Bizkaia. 1986-2013.

(ICD 10: C81-95; D45-47)

2017ko lehen hiruhilabeteko txostena



Mieloma anizkoitza. Hezur muin barreiatua May-Grünwald-Giemsa-z tindatua.

Bizkaiko Zaintza Epidemiologikoaren Unitatea
2017/03/28

Hitzaurrea

Minbizi hematologikoen ezaugarri bereziek minbizi erregistroetarako erronka berezia suposatzen dute (Minbizi hematologikoaz ari garenean ehun hematopoietiko eta linfoideetako minbizi multzoez ari gara). Hauen diagnostiko eta tratamendurako bestelako ibilbide sanitarioak erabiltzen dira eta sarritan berandu arte ez dute Ospitaletako erregistroetan agertzerik.

Bestalde, etengabeko aurrerakuntza eman da minbizi hauen ezaugarrien zehaztapenetan eta honek ondorioak izan ditu erabili ohi diren sailkapenetan; Minbizi erregistroetan erabiltzen den Nazioarteko Gaixotasunen Sailkapena Onkologiarako 3. Bertsioan (GNS-O-3an) hainbat sailkatze-irizpide aldaketa eman dira azken urteetan.

Beraz RCEMEk minbizi huaeitik buruz jasotako informazioak guztiz ez osoa izateko arriskua du, hein batean aurreko zaitasunen ondorioz. Beraz, hurrengo datuak interpretatzerakoan aurreko guzti hau kontutan hartu behar da.

Alderaketak errazteko, minbizi hauetako sailkatzeko International Agency for Research on Cancer-ek (IARC) erabilitako sailkapen irizpideak jarraitu ditugu. IARCekek berak eskeinitako konbertsio programak erabiliz GNS-O3tik GNS-10era itzuli ditugu kodeak.

Tumore gaiztotzat hartutako minbizi hematologikoak horrela sailkatzen ditu IARCekek beraien txostenetan:

- *C81: Hodgkin linfomak*
- *C82-85, C96: ez Hodgkin linfomak*
- *C88, C90: Mieloma anizkoitzak eta gaixotasun immunougalkorrak*
- *C91-95: Leuzemiak*

Sailkapen honetatik kanpo geratzen dira 2003tik aurrera minbizi modura erregistratu diren beste gaixotasun batzuk: Policitemia vera (D45), Sindrome mielodisplasikoak (D46) eta ezaugarri ez ziurreko bestelako ehun linfoideetako eta erlazionatutako ehunetako sindromeak (D47). Azken hauetako modu berezian aztertu dira txostenaren amaieran.

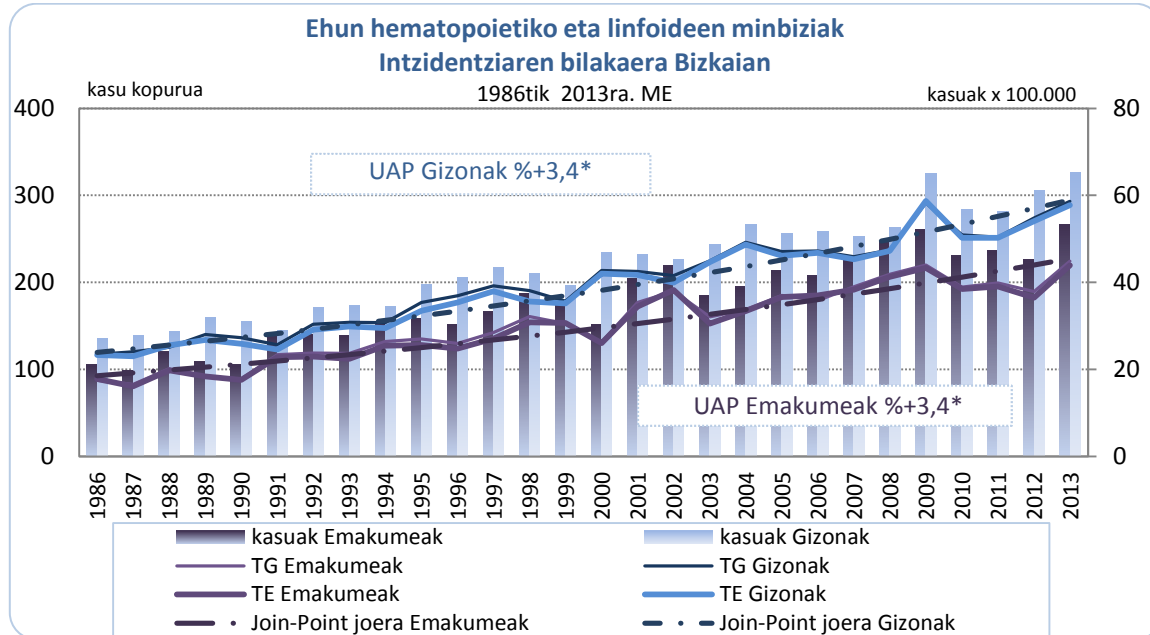
Minbizi hematologikoak Bizkaian

INTZIDENTZIA, PREBALENTZIA ETA HILKORTASUNA

Euskadiko Minbizi Erregistroa (EME) ezarri zenetik, datu osotuez eskuragarri dugun urterako arte, hau da 1986tik 2013ra arte, Bizkaiko biztanlerian ehun hematopoietiko eta linfoideetako 11200 minbizi erregistratu dira; hauetatik 3859 kasu bizirik zirauten, edo hobe esanda kasu hauen heriotzaren berrikirik ez geneukan, 2014ko urte hasieran.

Erregistratutako azken urtean, 2013an, sexuen arteko ohiko banaketa eman da: gizonengan 326 kasu (% 55), eta emakumezkoengan 267 (%45). 2013. urteko minbizi guziekiko, ehun hematopoietiko eta linfoideetako minbiziak %7,7 dira.

2013ean intzidentzia tasa gordina 51,53 kasu/100.000 biztanleko izan zen; 58,65 kasu/100.000 gizonezkoengan eta 44,88 kasu/100.000 emakumezkoengan. Intzidentziaren bilakaera JoinPoint erregresio metodoaz aztertuz, intzidentziak goranzko joera du. Urteroko Aldatze Portzentaia (UAP) %3,4 izan da sexu bietan.

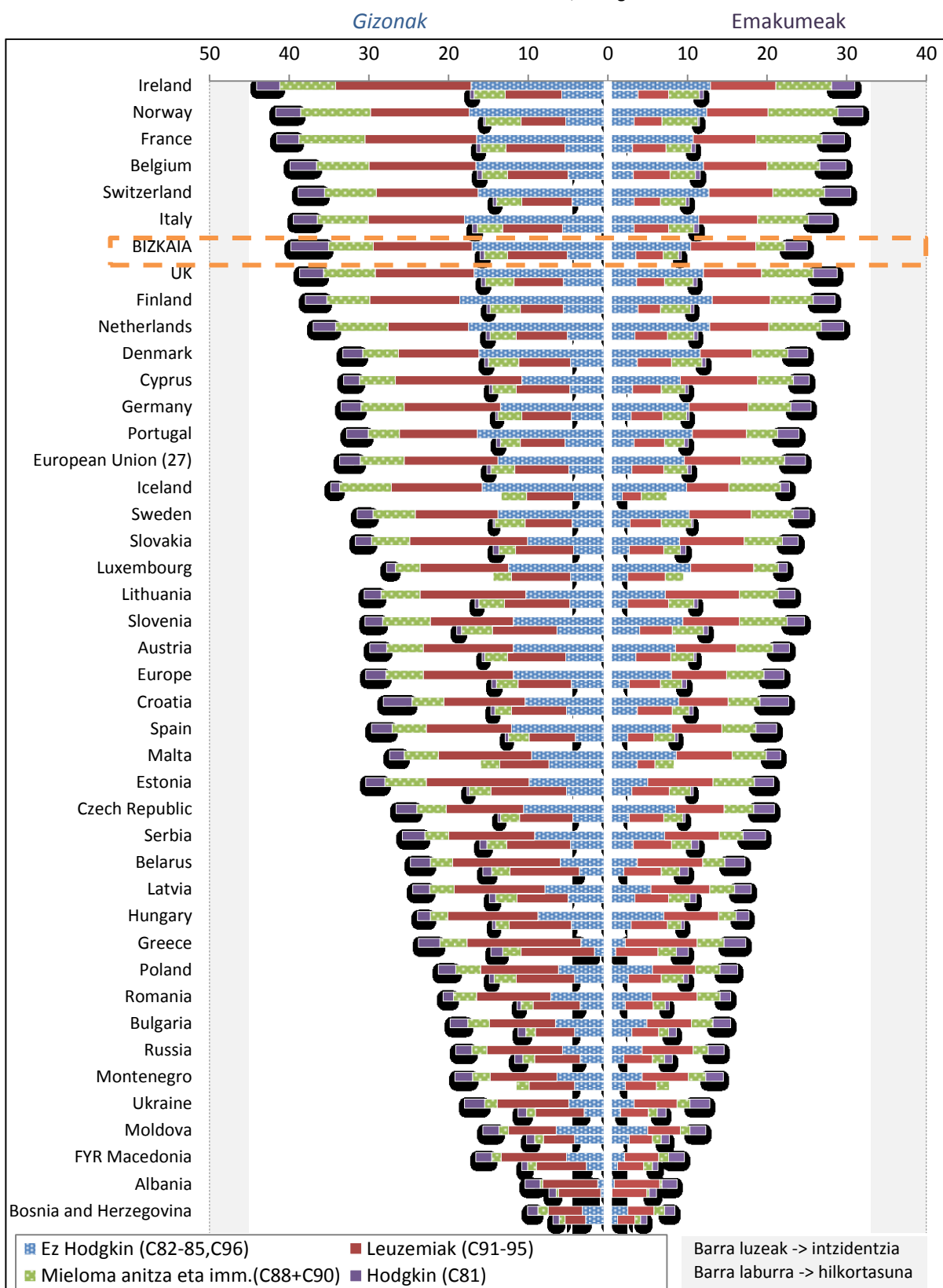


Beste herrialdeekin konparatzeko Europako populazioari doitu dira tasak: 39,83 kasu/100 000 gizonekoengen eta 25,04 emakumeengen (2012ko datua, EUCANen argitaratutakoekin alderatzeko). Bizkaiko tasa Europako herrialdekin konparatuta agertzen ditugu hurrengo grafikoan.

Ehun hematopoietiko eta linfoideetako minbizien intzidentzia eta hilkortasuna

Europako herrialdeetako tasak eta Bizkaikoak. 2012.

Tasa estandarrak 100 000 biztanleko; adin guztia.



Iturria: EUCAN (IARC/OME). 2012rako intzidentzia proiekzioak. Erreferentzia-populazioa: Europa.

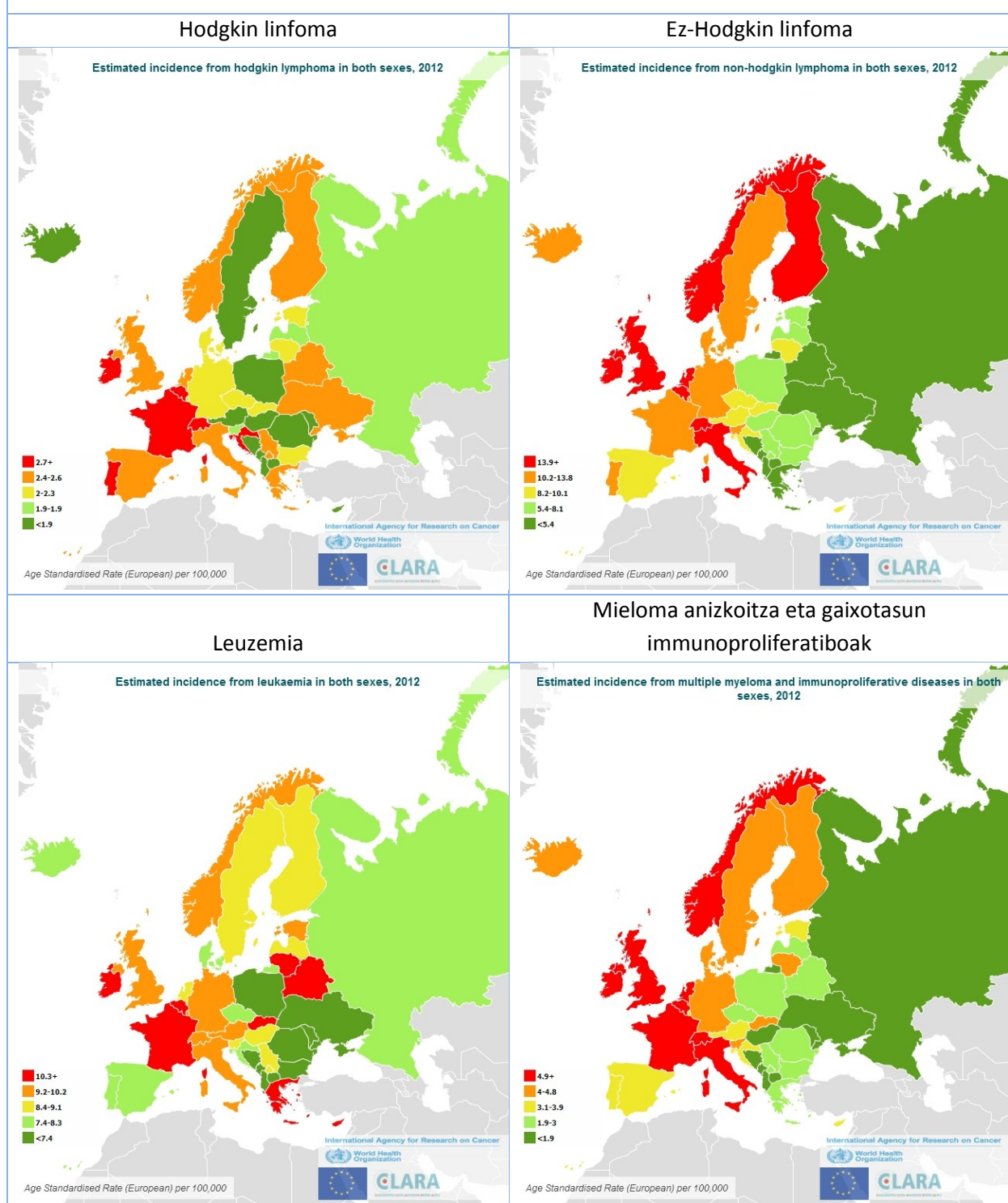
Bizkaiko datuak: Minbizi Erregistroa eta Hilkortasun Erregistroa (2012ko datua; europar populaziora doitutako tasak)

Hurrengo mapetan ehun hematopoietiko eta linfoideetako minbizien 2012rako estimatutako intzidentzia-tasen banaketa agertzen dugu. Bizkaiko datuak hauekin alderatzean, maila gorenetaikoan kokatzen dira.

Bizkaiko 2012ko Europar populazioari doitutako tasak (x100.000)

GNS-10	TE gizon	TE emakume	TE danak
Hodgkin linfomak: C81	4,73	2,77	3,80
Ez Hodgkin linfomak: C82-85, C96	17,07	10,38	13,64
Mieloma anizkoitza eta gaixotasun immunogalkorak: C88, C90	5,62	3,69	4,47
Leuzemiar: C91-95	12,41	8,2	10,14

Ehun hematopoietiko eta linfoideetako minbizien 2012rako estimatutako intzidentzia



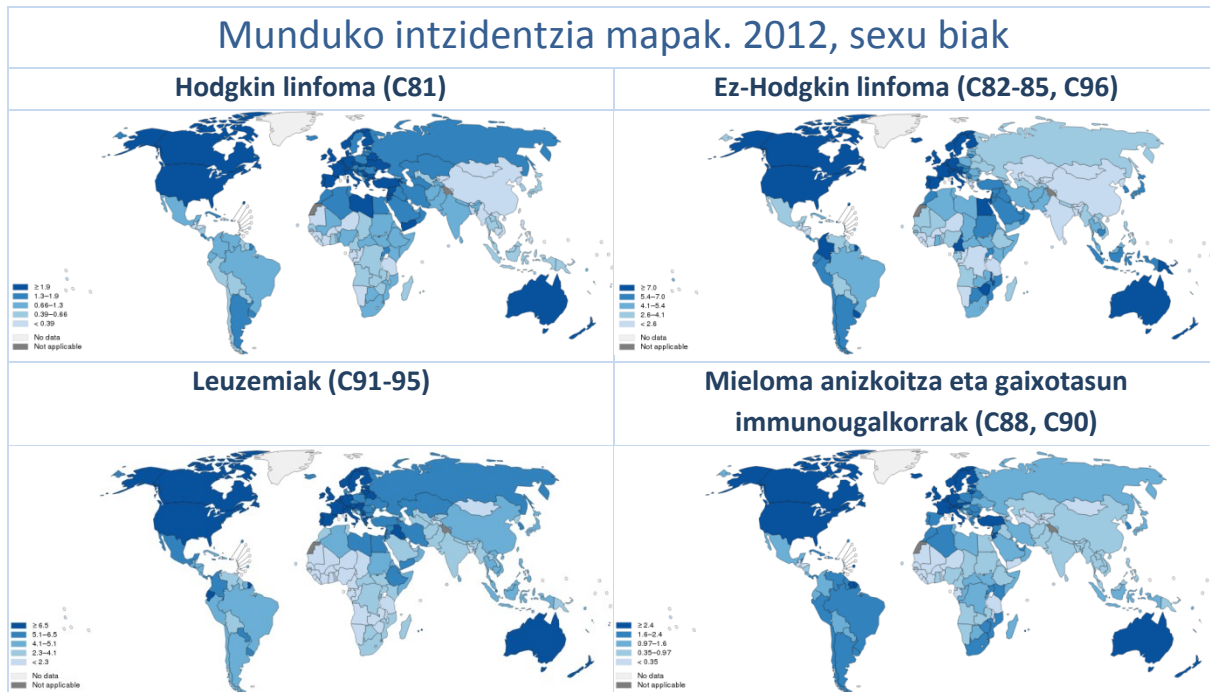
iturria: EUCAN (MOE). 2012rako intzidentzia-proiekzioak. Tasa Estandarrak (erreferentzia populazioa: Europa).

Bizkaiko Tasa Estandarrek hurrengo datuak ematen dituzte munduko populazioari doitzean:

Bizkaiko 2012ko Munduko populazioari doitzako tasak ($\times 100.000$)

GNS-10	TE gizon	TE emakume	TE danak
Hodgkin linfoma: C81	4,55	3,04	3,84
Ez Hodgkin linfoma: C82-85, C96	12,11	7,77	9,99
Mieloma anizkoitza eta gaixotasun immunogalkorrik: C88, C90	3,69	2,51	3,00
Leuzeiak: C91-95	8,93	7,16	8,09

Hurrengo Mapetan intzidentzi tasak herrialdeka agertzen dira.



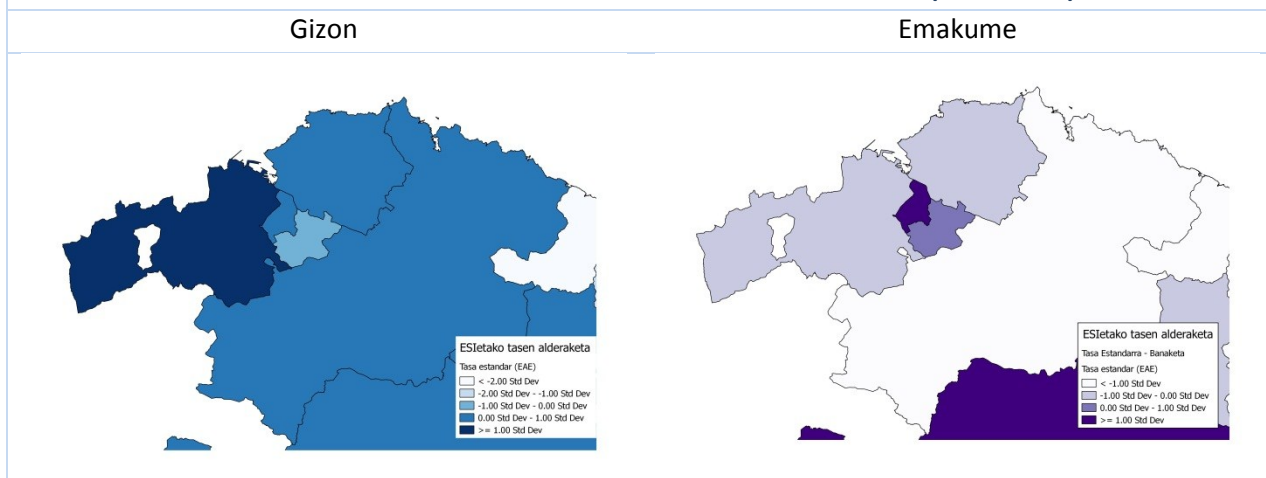
Iturria: GLOBOCAN (OME). 2012rako intzidentzia proiekzioak. Erreferentzia-populazioa: Munduko Pop.I
kasu: mapetako tasen kolore-eskalak desberdinak dira

Bizkaian bertako espazioaren araberako banaketa aztertzeko Erakunde Sanitario Integratu (ESI) bakoitzerako kalkulatu ditugu tasak. Zenbaki txikiez ari garenez tasak nahiko aldakor agertzen dira; tasen ezegonkortasuna leuntzeko azken bost urteko bataz bestekoak erabili ditugu hurrengo mapetan.

EAEko biztanlegora doitzako tasak alderatzean, gizonezkoen tasa handienak Ezkerraldea-Enkarterri-Cruces eskualdean agertzen zaizkigu eta emakumezkoenak Barakaldo-Sestaon.

Ehun hematopoietiko eta linfoideetako minbiziak ESlen arabera

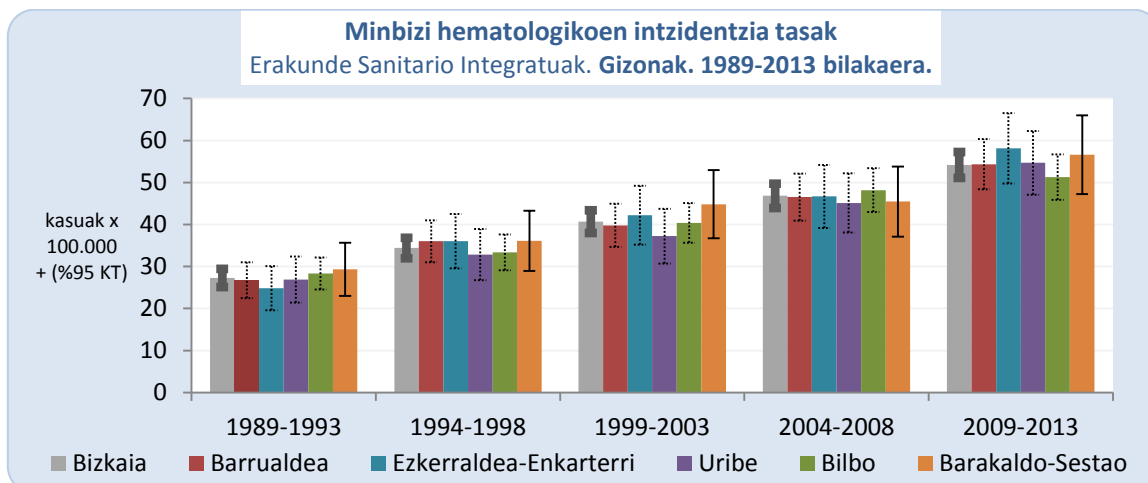
Tasa estandarizatuak. Azken bost urteetako batezbestekoa (2009-2013)



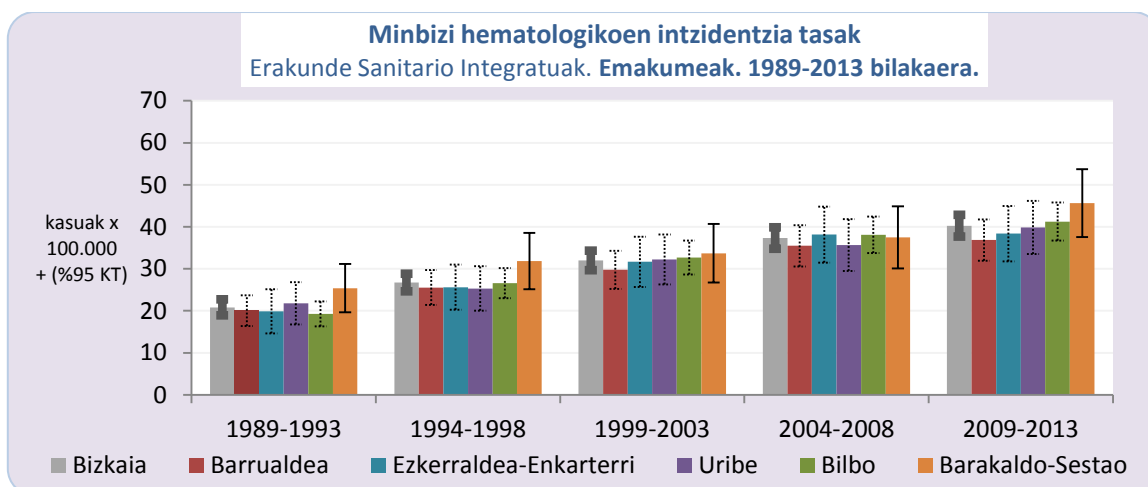
Iturria: EME. 2008-2012 tasa estandarizatuen urteroko batez bestekoak. Erreferentzia-populazioa: EAE

Esletan bertan, tasen bilakaera aztertzeko ere bost urteko batez bestekoak erabili ditugu. Hurrengo grafikoetan agertu bezala tasak goranzko joera izan dute Bizkaia osoan. Erregistratutako 25 urteko bilakaeran tasak bikoitzu egin dira, bai emakume zein gizonezkoengan.

ESlen arteko alderaketa egitean ez da agertzen desberdintasun esanguratsurik, ez eta joera nabarmenik. Aipatutako bilakaera orokorrarekin bat dator.

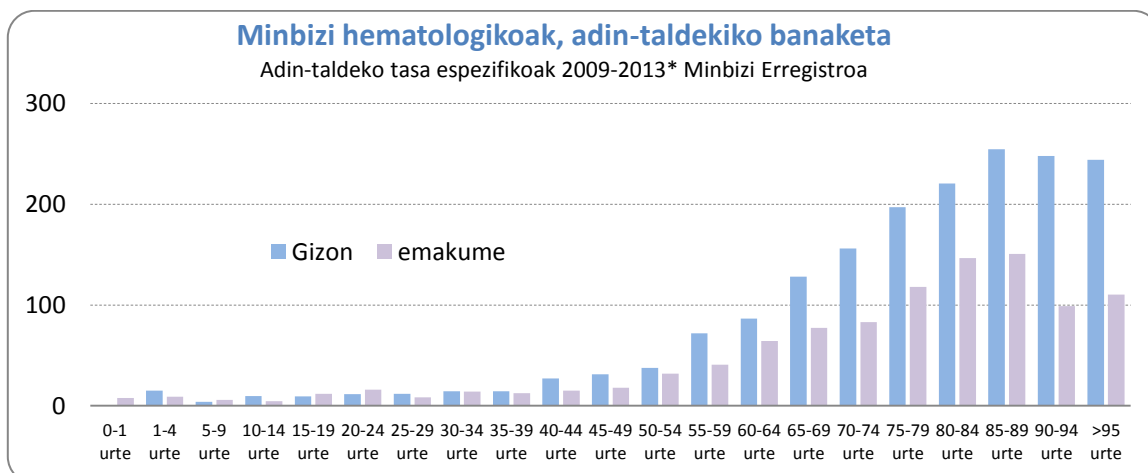


EME - Euskadiko Minbizi Erregistroko datuak; Tasa ± desbideratze estandarra; Tasa estandarizatuak, bosturteko batez bestekoak: erreferentzi populazioa: EAEko gizonezkoak 1989-2013 (EUSTAT)



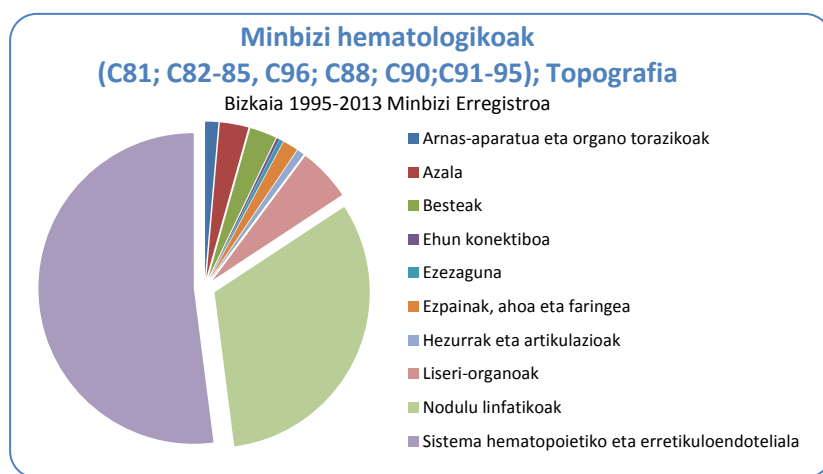
EME - Euskadiko Minbizi Erregistroko datuak; Tasa ± desbideratze estandarra; Tasa estandarizatuak, bosturteko batez bestekoak: erreferentzi populazioa: EAEko gizonezkoak 1989-2013 (EUSTAT)

Hurrengo grafikoan Minbizi Erregistroko Bizkaiko ehun hematologiko eta linfoideen minbizien banaketa azaltzen da adin taldeen arabera. Zahartzaroan ematen dira tasa altuenak, baina adin-talde guztietai eman ohi dira kasuak; baita haurtzaroan ere.



*Adin taldeko tasa espezifikoak, erregistratutako azken bost urteko tasa espezifikoak batez bestekoak.

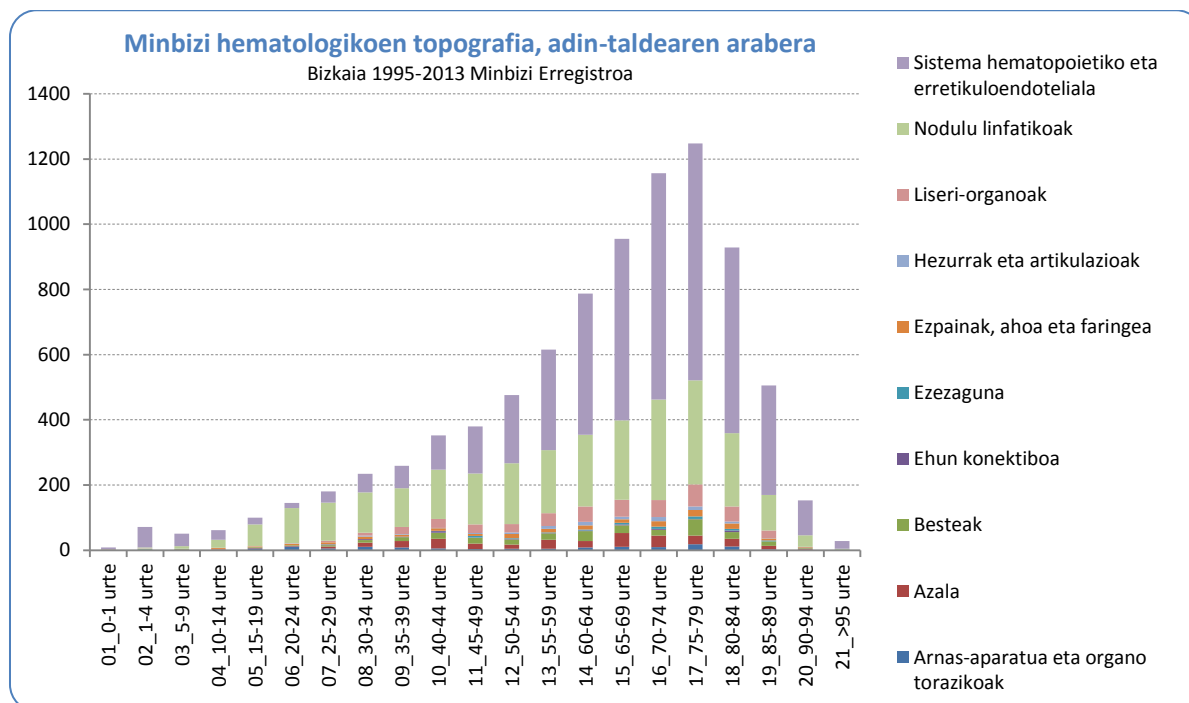
TOPOGRAFIA



Minbizi hematologikoen kokapenaren azterketan sistema hematopoietiko eta erretikuloendoteliala ageri da ohikoena bezala (%52) eta ondoren nodulu linfatikoak daude (%32). Liseri-aparatuaren urdaila nabarmenzen da organo ohikoena lez.

Adinari dagokionez, 0-14 urtekoen artean eta 50 urtetik gorakoetan, sistema

hematopoietiko eta erretikuloendotelialeko minbiziak dira ohikoena; 15-49 urteko adin-taldean, berriz, nodulu linfatikoetan diagnostikatzen dira gehienbat. Ez dago desberdintasunik gizonezkoen eta emakumezkoen artean.



MORFOLOGIA

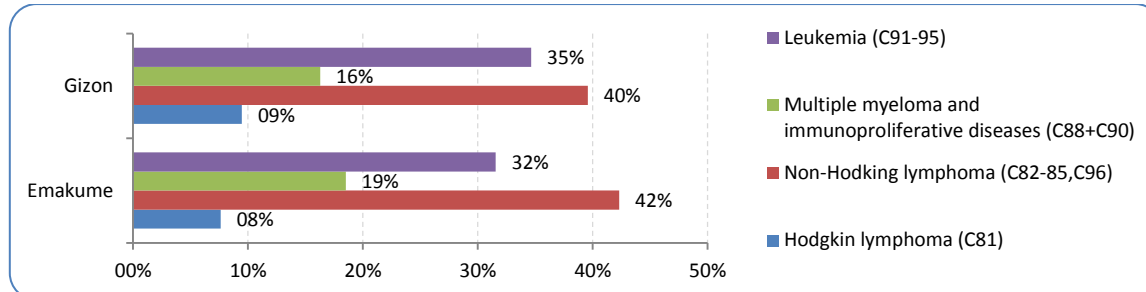
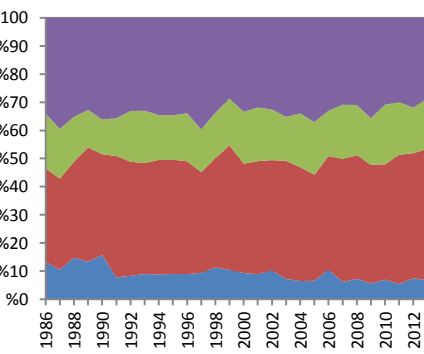
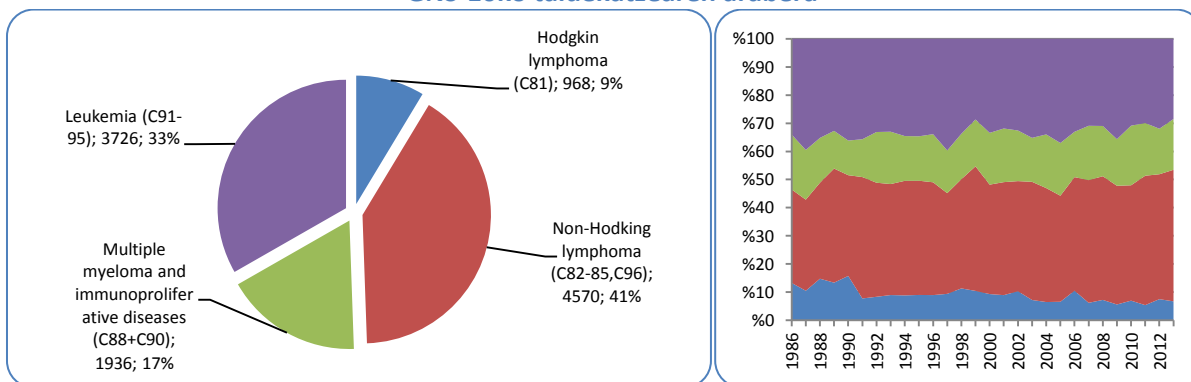
Minbizi hematologikoen kasuan morfologia oso heterogeneoa da eta ez dago besteen gainetik nagusiki nabarmenzen den gaixotasunik. Ez-Hodgkin linfoma hedatuak dira ohikoena (%20), batez ere zelula handikoak. Bere atzetik leuzemia linfoideak (%17) eta mieloma anizkoitza eta zelula plasmatikoen neoplasia gaiztoak (%16) daude.

Hurrengo grafikoetan sailkapen desberdinaren araberako banaketak eta hauen bilakaerak aurkezten ditugu. Sailkapen hauek OMEk proposatutakoak dira, lehena gaixotasun guztien sailkapena (GNS-10) da eta bigarrena Minbizi Erregistroentzako presezki sortutako sailkapen onkologikoa (GNS-O-3). Sailkapenaren taldekatzeak OMEk erabilitakoaren araberakoak dira.

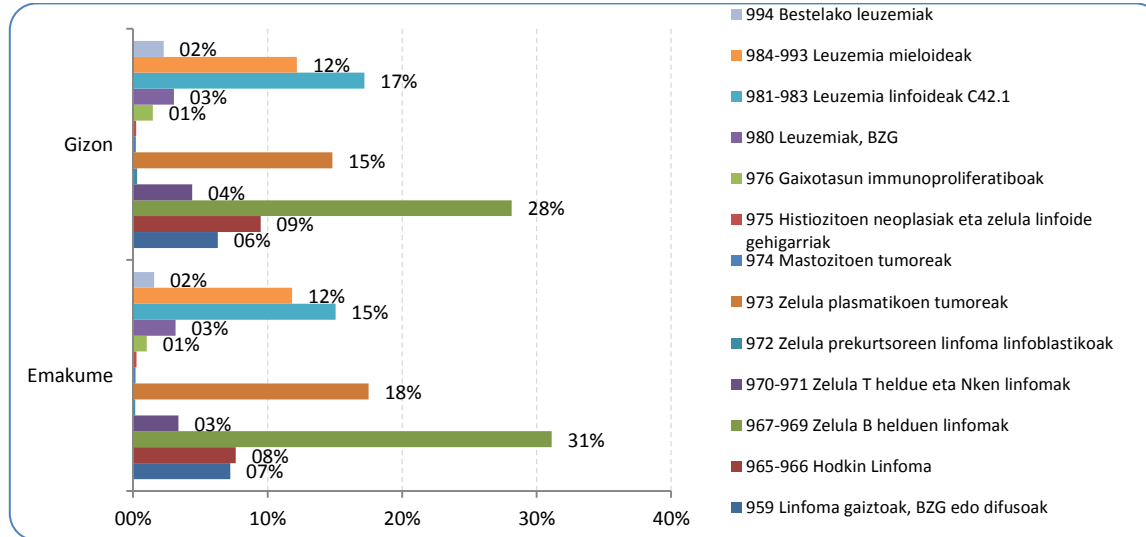
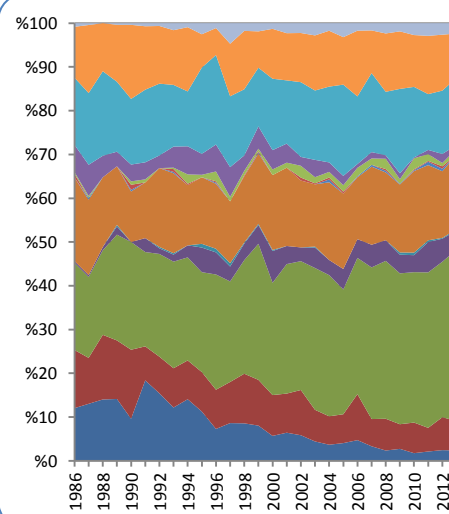
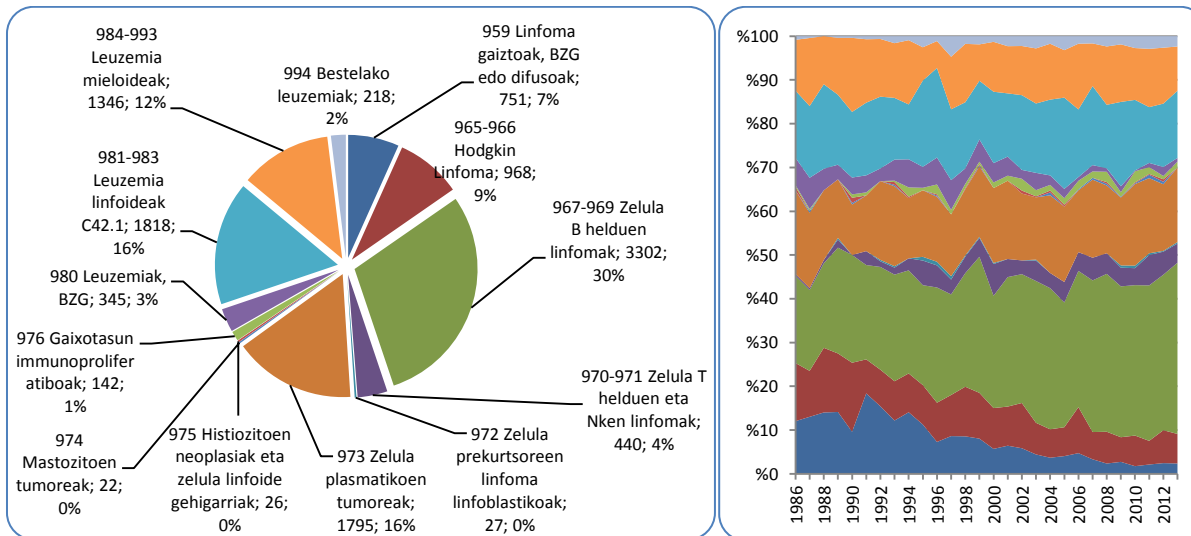
Minbizi hematologikoen morfologia; banaketa eta bilakaera

Bizkaia 1986-2013 Minbizi-Erregistroa

GNS-10ko taldekatzearen arabera



GNS-O-3ren arabera



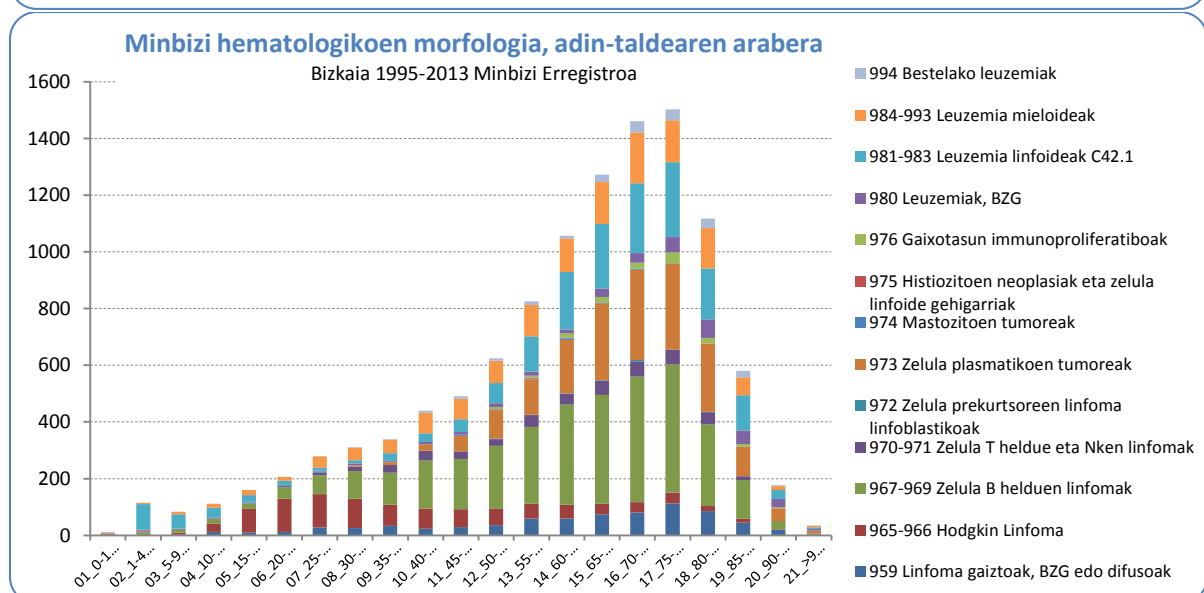
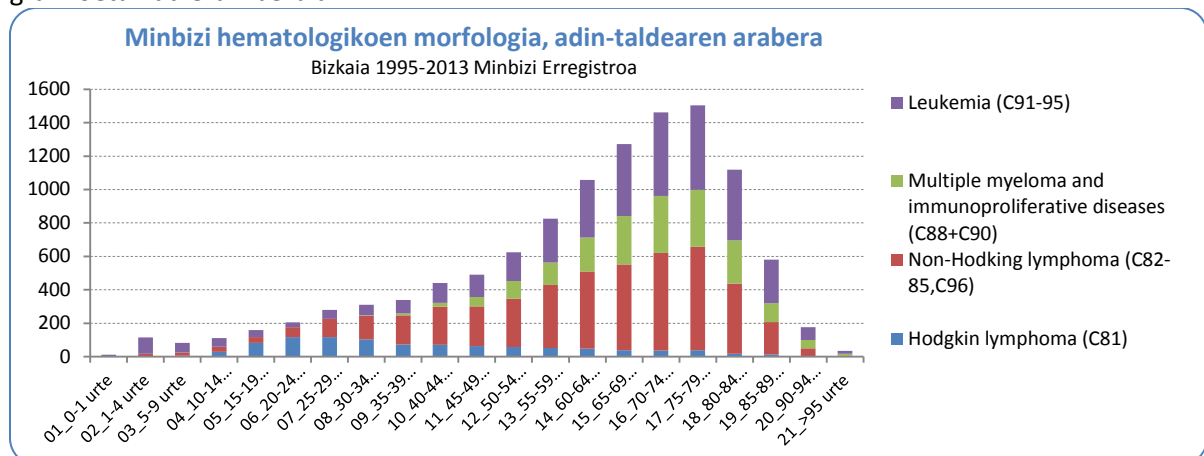
Minbizi Hematologikoen morfologia.

Minbizi Erregistroa Bizkaia 1986-2013

Morfología	Kopurua	%
'Hodgkin linfoma (C81)'	968	8.6%
965-966 Hodgkin Linfoma	968	8.6%
'Non-Hodgkin linfoma (C82-85,C96)'	4570	40.8%
959 Linfoma gaitoak, BZG edo difusoak	751	6.7%
967-969 Zelula B helduen linfomak	3302	29.5%
970-971 Zelula T helduen eta Nken linfomak	440	3.9%
972 Zelula prekurtsoreen linfoma linfoblastikoak	27	0.2%
973 Zelula plasmaticoien tumoreak	2	0.0%
974 Mastozitoen tumoreak	22	0.2%
975 Histiocitoen neoplaesiak eta zelula linfoide gehigarriak	25	0.2%
984-993 Leuzemia mieloideak	1	0.0%
Mieloma anizkoitza eta gaixotasun immunougal korra (C88, C90)'	1936	17.3%
973 Zelula plasmaticoien tumoreak	1793	16.0%
975 Histiocitoen neoplaesiak eta zelula linfoide gehigarriak	1	0.0%
976 Gaixotasun immunoproliferatiboak	142	1.3%
'Leuzemia (C91-95)'	3726	33.3%
980 Leuzemiar, BZG	345	3.1%
981-983 Leuzemia linfoideak C42.1	1818	16.2%
984-993 Leuzemia mieloideak	1345	12.0%
994 Bestelako leuzemiarak	218	1.9%
Total orokorra	11200	100.0%

Erregistratutako minbizien morfologia zehaztuagoa txosten honi erantsiak eskaintzen dira. Eranskineko taulan Bizkaian 1986tik 2013ra arteko tumoreen morfologia zehazten da.

Kasuen adinari erreparatuz zenbait aldaketa antzeman ditzakegu morfologien banaketan hurrengo grafikoetan adierazi bezala.



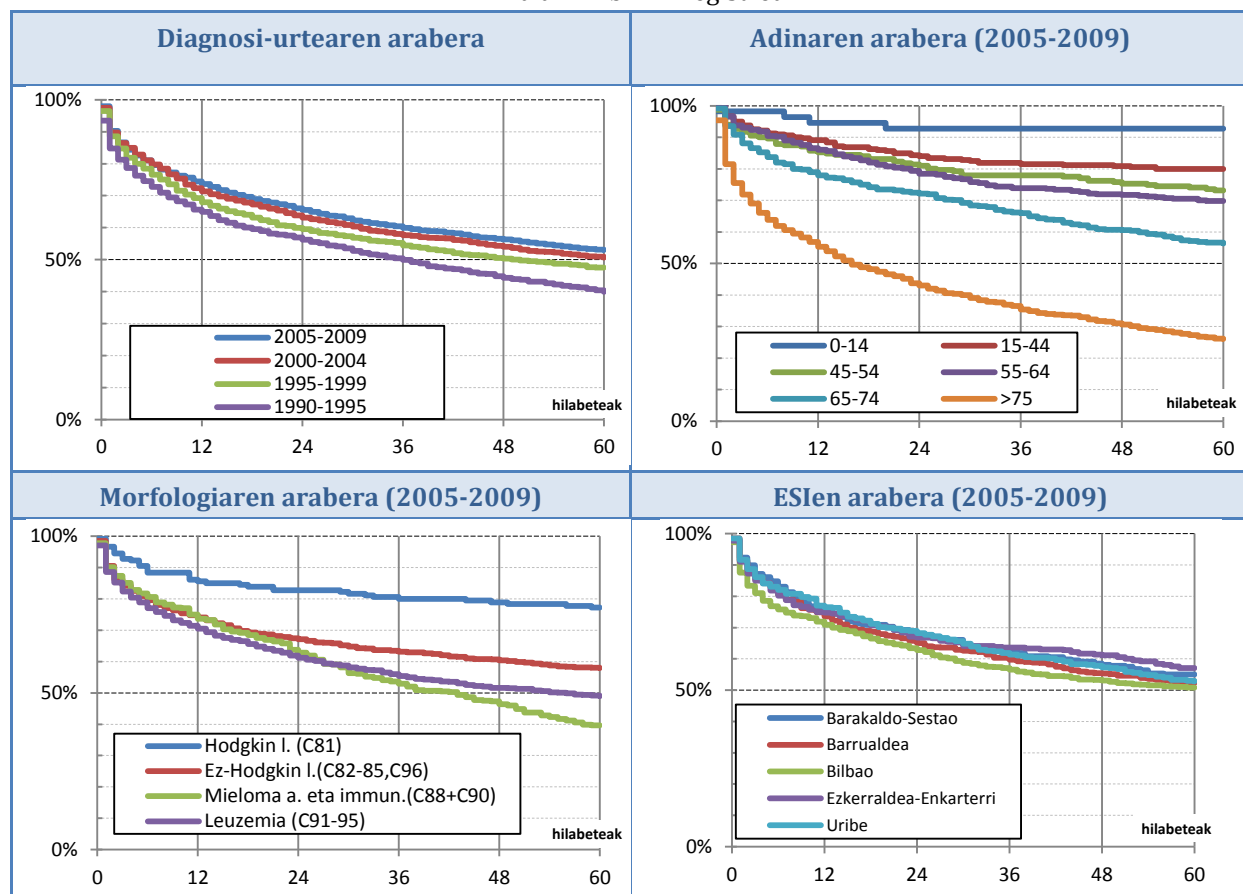
BIZI-IRAUPENA

Bizi-iraupenaren analisian, gutxieneko 5 urteko jarraipena duten kasuak aztertu dira soilik. Datuak ez dira heriotza kausarekiko espezifikoak, heriotza mota guztiak jasotzen dira.

Bizi iraupenaren datuetan hobekuntza antzematen da tumorearen diagnosi urtearen arabera; lehen aldian, (1990-1994) %40 izatetik, azken aldian %50tik gorakoa izatera iritsi da bataz beste 5 urterako bizi iraupena. Adina eta morfologiaren arabera ere nabarmen desberdinak dira bizi-irauteak; aldiz, Erakunde Sanitario Integratuei begiratuz ez da aldaketarik nabamentzen.

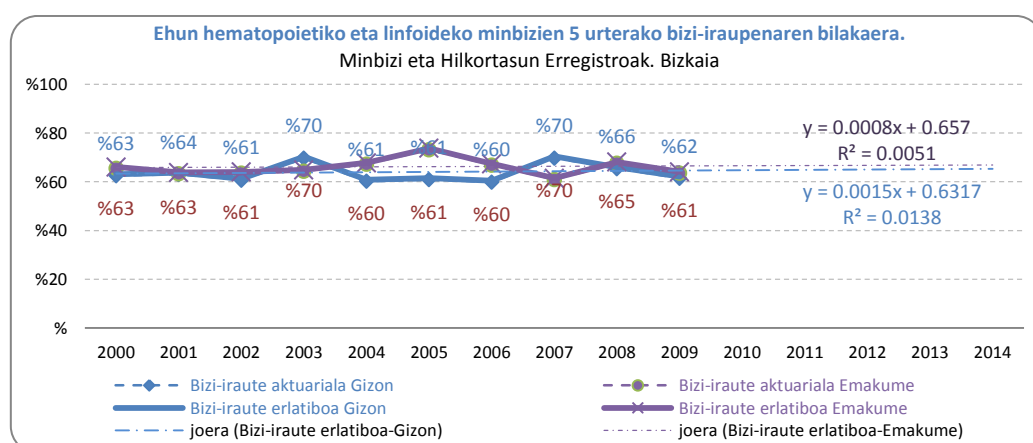
Ehun hematopoietiko eta linfoideen minbiziak. Bizi iraupena (Kaplan-Meier)

Bizkaia. Minbizi Erregistroa.



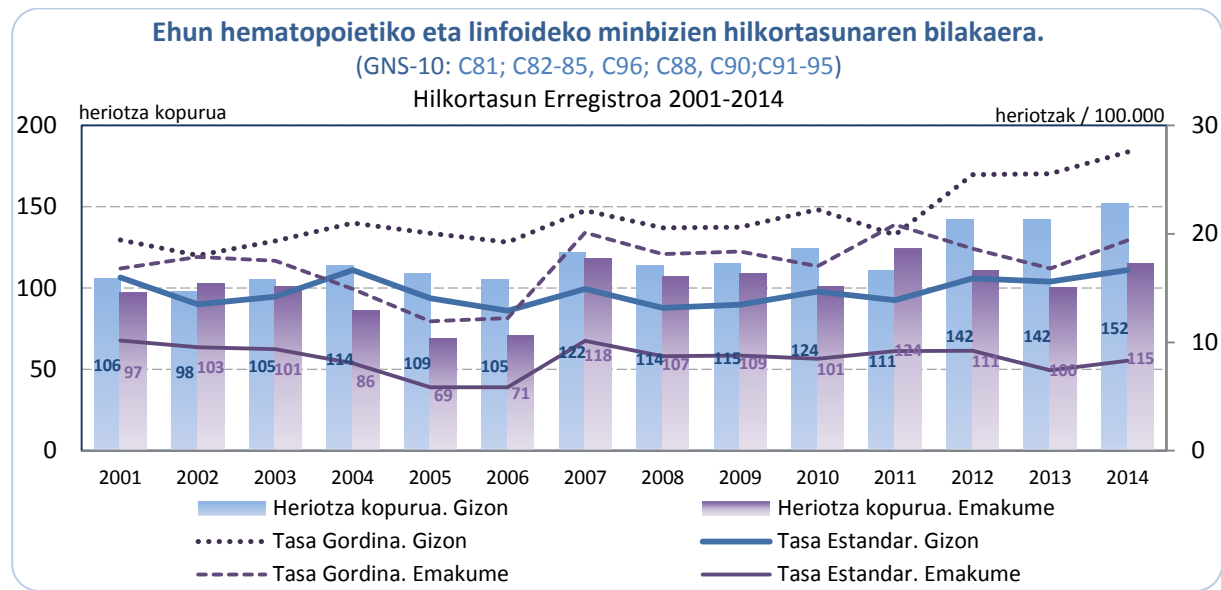
Bizi-iraupen aktuarial eta erlatiboaren estimazioak kalkulatu eta urteetako bilakaera aztertu ditugu 2000tik aurrera. Bost urterako bizi-irautea azken aldi honetan %60tik gorakoa izan da.

Bizi-iraupen erlatiboa eta aktuariala ia berdinak izan dira; kasuak adin guztietai ematen direnez bestelako hilkortasunaren eragina txikia baita hilkortasun erlatiboa kalkulatzean.



HILKORTASUNA

Grafikoan azken urteetan erregistratutako ehun hematopoietiko eta linfoideen minbiziagatik hildakoak eta dagozkien tasa estandarizatuak agertzen ditugu. Hilkortasuna GNS-10ez kodetua dago, hildako kausen artean hurrengoak jaso dira: C81; C82-85, C96; C88, C90; C91-95.

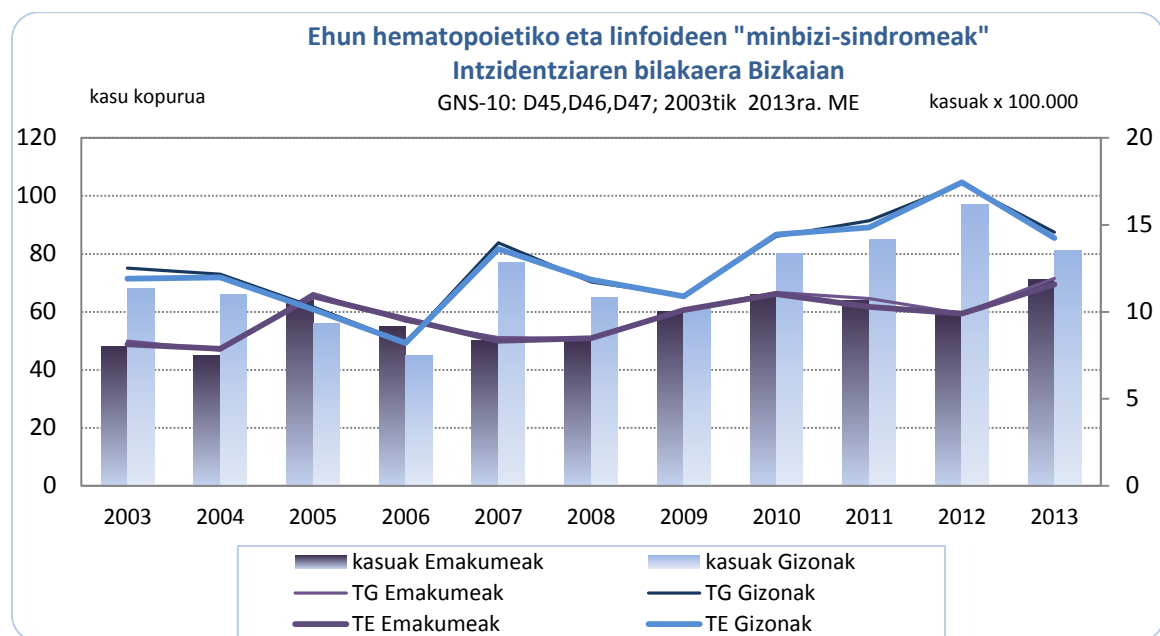


Tasa Estandarizatua (Europar Populazioa-1997 doitua)

POLICITEMIA VERA (D45), SINDROME MIELODISPLASIKOAK (D46) ETA EZAUGARRI EZ ZIURREKO BESTELAKO EHUN LINFOIDEETAKO ETA ERLAZIONATUTAKO EHUNETAKO SINDROMEAK (D47)

Aurretik portaera ez ziurreko gaixotasun hauek orain neoplasia gaiztotzat hartzen dira. Irizpide aldaketa honek, Minbizi Erregistroan, 2003tik aurrera izan du eragina. Beraz, atal berezitu honetan aztertzen dira aurreko atalekoen analisi aldi osoa ez baitute betetzen.

2003tik 2013ra Minbizi Erregistroan sindrome hauetako 1419 kasu jaso dira Bizkaian. Erregistratutako azken urtean, 2013an, 152 kasu daude, 81 gizonenkoenak eta 71 emakumezkoenak. Kasu hauek beste minbizi hematologikoei gehituko balira minbizi guztien %20 inguru lirateke.

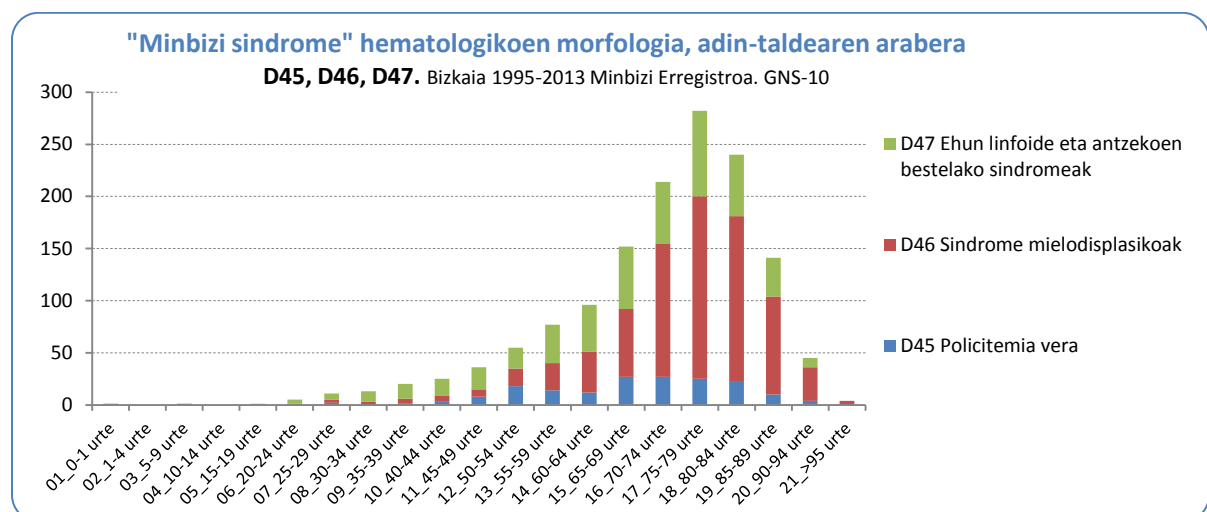


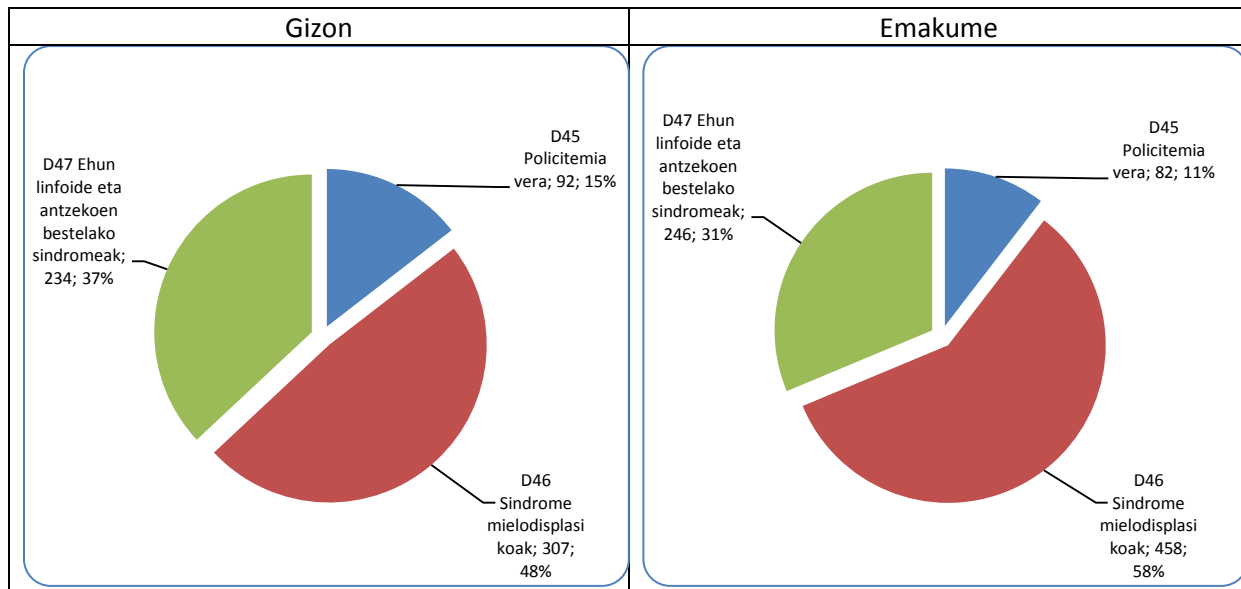
HEDADURA, DIFERENTZIAZIOA ETA TUMOREEN MORFOLOGIA

Sindrome hauen berezitzunei erreparatuta ez du zentzurik hedadura, ez differentiazioa azertzeak.

Morfologia

Hurrengo grafikoetan adina eta sexuen araberako banaketak agertzen dira.





Morfologia zehatzak hurrengo taulan:

“Minbizi-sindrome” Hematologikoen morfologia.

Minbizi Erregistroa Bizkaia 2003-2013

Morfologia	Kopurua	%
D45	173	8.6%
D45 Policytemia vera	173	12.24%
D46	762	53.93%
D460 Refractory anemia without sideroblasts	108	7.64%
D461 RARS	86	6.09%
D462 RAEB II	133	9.41%
D463 RAEB-T	5	0.35%
D467 Myelodysplastic syndrome with 5q deletion (5q-) syndrome	27	1.91%
D467 Refractory cytopenia with multilineage dysplasia	166	11.75%
D 467 Therapy-related myelodysplastic syndrome, epipodophyllotoxin-related	9	0.64%
D469 Preleukemic syndrome	228	16.14%
D47	478	33.83%
D471 Chronic myeloproliferative disorder	49	3.47%
D471 Myelofibrosis with myeloid metaplasia	71	5.02%
D473 Idiopathic hemorrhagic thrombocythemia	351	24.84%
D477 Chronic eosinophilic leukemia	1	0.07%
D477 Chronic neutrophilic leukemia	1	0.07%
D479 Lymphoproliferative disease, NOS	2	0.14%
D479 Myeloproliferative disease, NOS	3	0.21%
Total orokorra	1413	100.0%

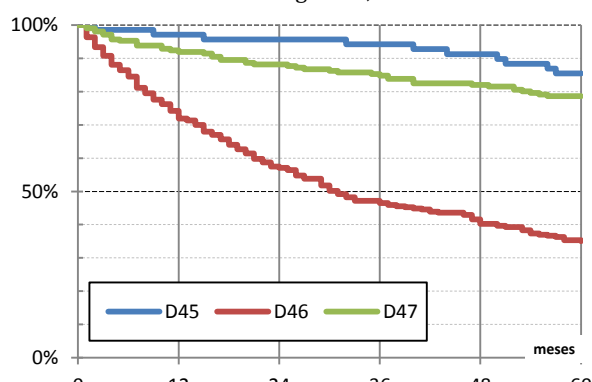
BIZI-IRAUPENA

Tumore guztiak batera hartuta, erakusten duten bizi-iraupena bestelako minbizi hematologikoen parean dago: 5 urterako bizirautea %60 inguru.

Morfologiak aztertean ikusten dugu nola sindrome mielodisplasikoen (D46) 5 urterako biziraupena nabarmen txarragoa dela: %40tik beherakoa.

Biziraupena morfologiaren arabera (2005-2009)

Minbizi Erregistroa, Bizkaia



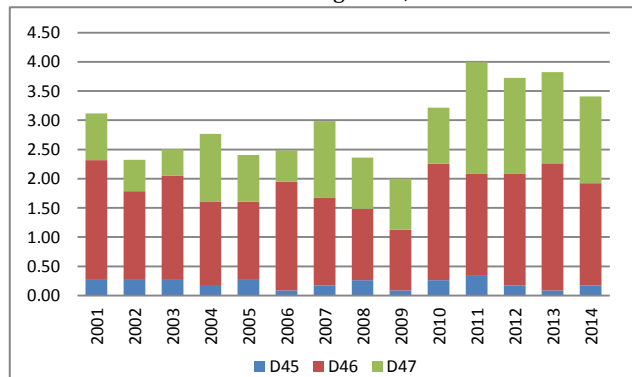
HILKORTASUNA

Minbizi mota hauen hilkortasun-tasa bateratua 100.000 biztanletik, 2 eta 4 heriotzen artekoa da.

Sindrome mielodisplasikoak (D46) dira hilkortasun tasa handiena erakusten dutenak, ondoren ehun linfoide eta antzeko ehunetako portaera ez ziurreko sindromeak (D47) daude.

Hilkortasun-tasa gordinak morfologiaren arabera 2001-2014

Hilkortasun erregistroa, Bizkaia



ERANSKINA

Bizkaiko kasuetan erregistratutako morfologiak GNS-10aren arabera

Morfologia	Kasu kop.	Gurutzeta	Basurto	Galdakao	San Eloy	Beste
24.00 'Hodgkin lymphoma (C81)'	968	546	300	169	45	79
C810 Nodular lymphocyte predominant Hodgkin lymphoma, unspecified site	88	52	28	11	3	7
C811 Nodular sclerosis Hodgkin lymphoma, unspecified site	464	288	115	101	23	38
C812 Mixed cellularity Hodgkin lymphoma, unspecified site	268	137	106	30	12	19
C813 Lymphocyte depleted Hodgkin lymphoma, unspecified site	53	23	23	9	1	4
C819 Hodgkin lymphoma, unspecified, unspecified site	95	46	28	18	6	11
25.00 'Non-Hodgkin lymphoma (C82-85,C96)'	4570	2081	1322	874	272	491
C820 Follicular lymphoma grade I, unspecified site	265	123	104	33	15	23
C821 Follicular lymphoma grade II, unspecified site	122	58	27	29	9	14
C822 Follicular lymphoma grade III, unspecified, unspecified site	129	67	32	25	7	14
C829 Follicular lymphoma, unspecified, unspecified site	420	176	117	78	29	53
C830 Small cell B-cell lymphoma, unspecified site	251	95	79	49	20	30
C833 Diffuse large B-cell lymphoma, unspecified site	1345	642	436	235	77	119
C835 Lymphoblastic (diffuse) lymphoma, unspecified site	28	16	6	4	2	3
C837 Burkitt lymphoma, unspecified site	99	64	21	15	3	3
C838 Other non-follicular lymphoma, unspecified site	384	162	101	89	25	41
C840 Mycosis fungoides, unspecified site	156	90	45	33	0	3
C841 Sezary disease, unspecified site	24	17	3	4	2	0
C844 Peripheral T-cell lymphoma, not classified, unspecified site	122	64	21	32	14	8
C849 Mature T/NK-cell lymphomas, unspecified, unspecified site	2	2	0	0	0	0
C84A Cutaneous T-cell lymphoma, unspecified, unspecified site	85	46	37	7	1	4
C859 Non-Hodgkin lymphoma, unspecified, unspecified site	752	291	171	150	43	143
C861 Hepatosplenic T-cell lymphoma	10	2	2	5	1	2
C862 Enteropathy-type (intestinal) T-cell lymphoma	40	11	16	12	2	3
C884 Extranodal marginal zone B-cell lymphoma of mucosa-associated lymphoid tissue [MALT-lymphoma]	289	131	92	60	19	27
C960 Multifocal and multisystemic (disseminated) Langerhans-cell histiocytosis	10	4	4	2	0	1
C962 Malignant mast cell tumor	23	9	5	9	2	0
C964 Sarcoma of dendritic cells (accessory cells)	3	3	0	1	1	0
C96A Histiocytic sarcoma	11	8	3	2	0	0
26.00 'Multiple myeloma and immunoproliferative diseases (C88+C90)'	1936	854	544	408	138	168
C880 Waldenstrom macroglobulinemia	141	50	35	40	15	8
C883 Immunoproliferative small intestinal disease	1	0	0	0	0	1
C900 Multiple myeloma	1707	762	479	358	120	149
C901 Plasma cell leukemia	10	3	4	2	0	1
C902 Extramedullary plasmacytoma	77	39	26	8	3	9
27.00 'Leukemia (C91-95)'	1345	642	436	235	77	119
C910 Acute lymphoblastic leukemia	386	241	117	38	4	8
C911 Chronic lymphocytic leukemia of B-cell type	1371	481	491	292	120	49
C913 Prolymphocytic leukemia of B-cell type	17	4	6	6	1	0
C914 Hairy cell leukemia	68	26	21	19	4	1
C915 Adult T-cell lymphoma/eukemia (HTLV-1-associated)	12	4	4	4	0	0
C919 Lymphoid leukemia, unspecified	32	17	5	0	3	7
C920 Acute myeloblastic leukemia,	711	337	248	132	29	7
C921 Chronic myeloid leukemia, BCR/ABL-positive,	499	220	160	90	33	8
C923 Myeloid sarcoma,	5	0	5	0	0	0
C924 Acute promyelocytic leukemia,	129	89	20	31	2	1
C925 Acute myelomonocytic leukemia,	50	24	19	9	2	0
C929 Myeloid leukemia, unspecified,	30	6	14	4	1	6
C930 Acute monoblastic/monocytic leukemia,	62	28	22	14	3	0
C942 Acute megakaryoblastic leukemia	6	1	3	3	0	0
C944 Acute panmyelosis with myelofibrosis	3	3	0	1	0	0
C950 Acute leukemia of unspecified cell type	165	54	40	48	13	16
C959 Leukemia, unspecified	180	17	10	7	1	146
Total orokorra	11200	5033	3351	2149	671	987

*Errenkaden batuketa kasu kopuria baino handiagoa izan daiteke, ezen kasu batzuek erietze bat baino gehiagotan artatua dira.

Bizkaiko kasuetan erregistratutako morfologiak GNS-10aren arabera. "Minbizi-sindrome" hematologikoak. 2003-2013.

Morfologia	Kasu kop.	Gurutzeta	Basurto	Galdakao	San Eloy	Beste
D45 Polycythemia vera	17	63	48	35	17	10
D460 Refractory anemia without ring sideroblasts, so stated	10	22	44	25	17	1
D461 Refractory anemia with ring sideroblasts	86	37	20	15	15	1
D462 Refractory anemia with ring sideroblasts	13	54	49	24	13	4
D463 Refractory anemia with excess of blasts 2	5	1	1	1	2	1
D467 Refractory anemia, unspecified	20	62	60	17	70	2
D469 Myelodysplastic syndrome, unspecified	22	51	103	38	24	17
D471 Chronic myeloproliferative disease	12	37	48	22	14	2
D473 Essential (hemorrhagic) thrombocythemia	35	128	110	67	45	6
D479 Neoplasm of uncertain behavior of lymphoid, hematopoietic and related tissue, unspecified	7	0	2	4	0	1
Total orokorra	1413	455	485	248	217	45

*Errenkaden batuketa kasu kopuria baino handiagoa izan daiteke, ezen kasu batzuek erietze bat baino gehiagotan artatua dira.

Bizkaiko kasuetan erregistratutako morfologiak GNS-O-3ren arabera. 1986-2013.

Morfologia	Kasu kop.	Gurutzeta	Basurto	Galdakao	San Eloy	Beste
959 Linfoma gaiztoak, BZG edo difusoak	751	290	171	150	43	143
95903 Malignant lymphoma, NOS	350	147	49	46	28	97
95913 Malignant lymphoma, non-Hodgkin, NOS	400	142	122	104	15	46
95963 Composite Hodgkin and non-Hodgkin lymphoma	1	1	0	0	0	0
965-966 Hodkin Linfoma	968	546	300	169	45	79
96503 Malignant lymphoma, Hodgkin	95	46	28	18	6	11
96513 Hodgkin lymphoma, lymphocyte-rich	56	29	20	7	2	6
96523 Hodgkin lymphoma, mixed cellularity, NOS	268	137	106	30	12	19
96533 Hodgkin lymphoma, lymphocyte depletion, NOS	44	21	20	6	1	2
96543 Hodgkin lymphoma, lymphocyte depletion, diffuse fibrosis	2	0	1	0	0	1
96553 Hodgkin lymphoma, lymphocyte depletion, reticular	7	2	2	3	0	1
96593 Hodgkin lymphoma, nodular lymphocyte predominance	31	22	8	4	1	1
96633 Hodgkin lymphoma, nodular sclerosis, NOS	384	242	97	81	22	29
96643 Hodgkin lymphoma, nodular sclerosis, cellular phase	10	4	2	3	0	2
96653 Hodgkin lymphoma, nodular sclerosis, grade 1	62	37	15	15	0	7
96673 Hodgkin lymphoma, nodular sclerosis, grade 2	9	6	1	2	1	0
967-969 Zelula B helduen linfomak	3302	1516	1009	612	204	324
96703 Malignant lymphoma, small B lymphocytic, NOS	250	95	79	48	20	30
96713 Malignant lymphoma, lymphoplasmacytic	102	39	25	27	3	15
96733 Mantle cell lymphoma	194	92	46	46	10	20
96753 Malignant lymphoma, mixed small and large cell, diffuse	98	50	16	16	4	17
96793 Mediastinal (thymic) large B-cell lymphoma (C38.3)	13	6	7	0	0	1
96803 Malignant lymphoma, large B-cell, diffuse, NOS	1197	576	386	209	72	105
96843 Malignant lymphoma, large B-cell, diffuse, immunoblastic, NOS	146	65	48	25	5	14
96873 Burkitt lymphoma, NOS	97	63	21	15	2	3
96883 T-cell rich large B-cell lymphoma	3	2	1	0	1	0
96893 Splenic marginal zone B-cell lymphoma (C42.2)	75	24	23	17	12	5
96903 Follicular lymphoma, NOS	315	122	100	62	25	34
96913 Follicular lymphoma, grade 2	126	60	29	29	9	14
96953 Follicular lymphoma, grade 1	267	123	104	33	15	25
96983 Follicular lymphoma, grade 3	130	68	32	25	7	14
96993 Marginal zone B-cell lymphoma, NOS	289	131	92	60	19	27
970-971 Zelula T helduen eta Nken linfomak	440	233	124	94	20	20
97003 Mycosis fungoides (C44._)	156	90	45	33	0	3
97013 Sezary syndrome	24	17	3	4	2	0
97023 Mature T-cell lymphoma, NOS	95	55	19	17	11	6
97053 Angioimmunoblastic T-cell lymphoma	29	11	2	15	3	2
97083 Subcutaneous panniculitis-like T-cell lymphoma	3	3	0	0	0	0
97093 Cutaneous T-cell lymphoma, NOS (C44._)	41	20	15	6	0	4
97143 Anaplastic large cell lymphoma, T cell and Null cell type	49	25	22	7	2	2
97163 Hepatosplenic T-cell lymphoma	3	1	2	0	0	0
97173 Intestinal T-cell lymphoma	6	2	1	3	0	0
97183 Primary cutaneous CD30+ T-cell lymphoproliferative disorder	29	7	13	7	1	3
97193 NK/T-cell lymphoma, nasal and nasal-type	5	2	2	2	1	0
972 Zelula prekurtsooren linfoma linfoblastikoak	27	16	5	4	2	3
97273 Precursor cell lymphoblastic lymphoma	16	9	1	3	2	3
97283 Precursor B-cell lymphoblastic lymphoma	3	1	2	0	0	0
97293 Precursor T-cell lymphoblastic lymphoma	8	6	2	1	0	0
973 Zelula plasmatikoen tumoreak	1795	805	510	367	123	159
97313 Plasmacytoma, NOS	47	22	17	5	1	7
97323 Multiple myeloma (C42.1)	1707	762	479	358	120	149
97333 Plasma cell leukemia (C42.1)	10	3	4	2	0	1
97343 Plasmacytoma, extramedullary (not occurring in bone)	31	18	10	2	2	2
974 Mastozitoen tumoreak	22	8	5	8	2	0
97413 Malignant mastocytosis	22	8	5	8	2	0
975 Histiozitoen neoplaziak eta zelula linfoide gehigarriak	26	16	7	7	1	1
97503 Malignant histiocytosis	9	7	2	1	0	0
97513 Langerhans cell histiocytosis, NOS	3	1	0	3	0	0
97543 Langerhans cell histiocytosis, disseminated	9	4	4	1	0	1
97553 Histiocytic sarcoma	2	1	1	1	0	0
97583 Follicular dendritic cell sarcoma	3	3	0	1	1	0
976 Gaixotasun immunoproliferatiboak	142	50	35	40	15	9
97613 Waldenstrom macroglobulinemia (C42.0)	141	50	35	40	15	8
97643 Immunoproliferative small intestinal disease (C17._)	1	0	0	0	0	1

Bizkaiko kasuetan erregistratutako morfologiak GNS-O-3ren arabera. 1986-2013.

980 Leuzemiar, BZG	345	71	50	55	14	162
98003 Leukemia, NOS	180	17	10	7	1	146
98013 Acute leukemia, NOS	156	49	37	47	13	16
98053 Acute biphenotypic leukemia	9	5	3	1	0	0
981-983 Leuzemia linfoideak C42.1	1818	747	623	340	128	64
98203 Lymphoid leukemia, NOS	32	17	5	0	3	7
98233 B-cell lymphocytic leukemia/small lymphocytic lymphoma	1371	481	491	292	120	49
98263 Burkitt cell leukemia	21	11	7	3	2	2
98273 Adult T-cell leukemia/lymphoma (HTLV-1 positive)	6	1	3	2	0	0
98313 T-cell large granular lymphocytic leukemia	6	3	1	2	0	0
98323 Prolymphocytic leukemia, NOS	10	3	2	4	1	0
98333 Prolymphocytic leukemia, B-cell type	4	1	1	2	0	0
98343 Prolymphocytic leukemia, T-cell type	3	0	3	0	0	0
98353 Precursor cell lymphoblastic leukemia, NOS	309	216	71	25	2	6
98363 Precursor B-cell lymphoblastic leukemia	42	8	34	7	0	0
98373 Precursor T-cell lymphoblastic leukemia	14	6	5	3	0	0
984-993 Leuzemia mieloideak	1346	656	421	271	54	21
98403 Acute myeloid leukemia, M6 type	18	9	4	4	0	1
98603 Myeloid leukemia, NOS	30	6	14	4	1	6
98613 Acute myeloid leukemia, NOS	391	204	141	45	20	3
98633 Chronic myelocytic leukemia, NOS	290	160	64	55	12	7
98663 Acute promyelocytic leukaemia, t(15;17)(q22;q11-12)	129	89	20	31	2	1
98673 Acute myelomonocytic leukemia	50	24	19	9	2	0
98713 Acute myeloid leukemia with abnormal marrow eosinophils	6	2	2	2	0	0
98723 Acute myeloid leukemia, minimal differentiation	33	11	12	8	2	0
98733 Acute myeloid leukemia without maturation	62	22	15	22	4	2
98743 Acute myeloid leukemia with maturation	53	22	25	14	0	0
98753 Chronic myelogenous leukemia, BCR-ABL positive	47	2	23	20	3	0
98763 Atypical chronic myeloid leukemia, BCR/ABL negative	12	5	3	2	2	0
98913 Acute monocytic leukemia	62	28	22	14	3	0
98953 Acute myeloid leukemia with myelodysplasia-related changes	105	37	38	30	2	1
98963 Acute myeloid leukaemia, t(8;21)(q22;q22)	31	21	9	6	1	0
99103 Acute megakaryoblastic leukaemia	6	1	3	3	0	0
99203 Therapy related myeloid neoplasm	12	9	2	1	0	0
99303 Myeloid sarcoma	6	1	5	0	0	0
99313 Acute panmyelosis with myelofibrosis (C42.1)	3	3	0	1	0	0
994 Bestelako leuzemiar	218	79	91	32	20	2
99403 Hairy cell leukemia (C42.1)	68	26	21	19	4	1
99453 Chronic myelomonocytic leukemia, NOS	149	52	70	13	16	1
99463 Juvenile chronic myelomonocytic leukemia	1	1	0	0	0	0
Total orokorra	11200	5033	3351	2149	671	987

*Errenkaden batuketa kasu kopurua baino handiagoa izan daiteke, ezen kasu batzuek erietze bat baino gehiagotan artatuak dira.

Bizkaiko kasuetan erregistratutako morfologiak GNS-O-3ren arabera. "Minbizi-sindrome" hematologikoak. 2003-2013.

Morfologia	Kasu kop.	Gurutzeta	Basurto	Galdakao	San Eloy	Beste
995-996 Gaitz mieloproliferatibo kronikoak	646	228	206	126	76	18
99503 Polycythemia vera	173	63	48	35	17	10
99603 Myeloproliferative neoplasm, NOS	49	12	25	8	3	1
99613 Primary myelofibrosis	71	25	23	14	11	1
99623 Essential thrombocythemia	351	128	110	67	45	6
99633 Chronic neutrophilic leukemia	1	0	0	1	0	0
99643 Chronic eosinophilic leukemia, NOS	1	0	0	1	0	0
997 Bestelako gaitz hematologikoak	5	0	2	2	0	1
99701 Lymphoproliferative disorder, NOS	2	0	2	0	0	0
99753 Myeloproliferative neoplasm, unclassifiable	3	0	0	2	0	1
998 Sindrome Mielodisplasikoa	762	227	277	120	141	26
99803 Refractory anemia	108	22	44	25	17	1
99823 Refractory anemia with sideroblasts	86	37	20	15	15	1
99833 Refractory anemia with excess blasts	133	54	49	24	13	4
99843 Refractory anemia with excess blasts in transformation [obs]	5	1	1	1	2	1
99853 Refractory cytopenia with multilineage dysplasia	166	48	47	8	69	1
99863 Myelodysplastic syndrome with 5q deletion (5q-) syndrome	27	11	12	5	1	0
99873 Therapy-related myelodysplastic syndrome, NOS	9	3	1	4	0	1
99893 Myelodysplastic syndrome, NOS	228	51	103	38	24	17
Total orokorra	1413	455	485	248	217	45

*Errenkaden batuketa kasu kopurua baino handiagoa izan daiteke, ezen kasu batzuek erietze bat baino gehiagotan artatuak dira.